

### 3.6.1

## СПЕКТРАЛЬНЫЙ АНАЛИЗ ЭЛЕКТРИЧЕСКИХ СИГНАЛОВ

Егор Берсенева

## 1 Цель работы

Изучение спектрального состава периодических электрических сигналов.

## 2 Оборудование

Анализатор спектра, генератор прямоугольных сигналов, генератор сигналов специальной формы, осциллограф.

## 3 Теоретическая часть

В работе изучается спектральный состав различных типов сигналов: последовательности прямоугольных импульсов, последовательности цугов и амплитудно-модулированных колебаний.

### 3.1 Периодическая последовательность прямоугольных импульсов

Пусть амплитуда  $V_0$ , длительностью  $\tau$ , частотой повторения  $\Omega_1 = \frac{2\pi}{T}$ , где  $T$  — период повторения импульсов. Найдем среднее значение амплитуды:

$$\langle V \rangle = \frac{a_0}{2} = \frac{A_0}{2} = \frac{1}{T} \int_{-r/2}^{r/2} V_0 dt = \frac{\tau}{T} V_0$$

Коэффициенты при косинусах равны:

$$a_n = \frac{2}{T} \int_{-r/2}^{r/2} V_0 \cos(n\omega_1 t) dt = 2V_0 \frac{\tau}{T} \frac{\sin(n\Omega_1 \tau/2)}{n\Omega_1 \tau/2} \simeq \frac{\sin x}{x}$$

### 3.2 Периодическая последовательность цугов

Рассмотрим цуги гармонического колебания  $V_0 \cos(\omega_0 t)$  с длительностью цуга  $\tau$  и периодом повторения  $T$ . Коэффициент при  $n$ -й гармонике равен:

$$a_n = \frac{2}{T} \int_{-r/2}^{r/2} V_0 \cos(\omega_0 t) \cdot \cos(n\Omega_1 t) dt = V_0 \frac{\tau}{T} \left( \frac{\sin[(\omega_0 - n\Omega_1) \frac{\tau}{2}]}{(\omega_0 - n\Omega_1) \frac{\tau}{2}} + \frac{\sin[(\omega_0 + n\Omega_1) \frac{\tau}{2}]}{(\omega_0 + n\Omega_1) \frac{\tau}{2}} \right)$$

### 3.3 Амплитудно-модулированные колебания

Рассмотрим гармонические колебания высокой частоты  $\omega_0$ , амплитуда которых меняется с частотой  $\Omega$ , ( $\Omega \ll \omega$ ).

$$f(t) = A_0 [1 + m \cos \Omega t] \cos \omega t$$

$m$  называется глубиной модуляции. Простым тригонометрическим преобразованием найдем спектр таких колебаний:

$$f(t) = A_0 \cos \omega_0 t + \frac{A_0 m}{2} \cos (\Omega + \omega_0) t + \frac{A_0 m}{2} \cos (\omega_0 - \Omega) t$$

## 4 Ход работы

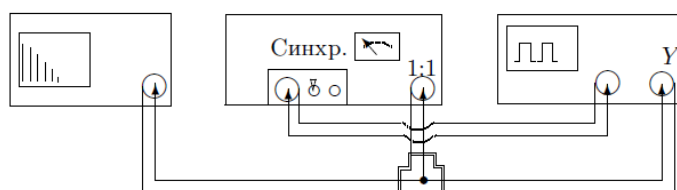
### 4.1 Периодическая последовательность прямоугольных импульсов

Соберем экспериментальную установку:

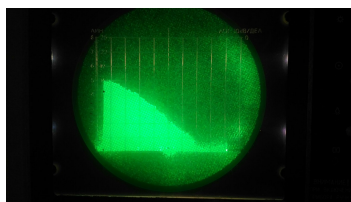
Анализатор спектра СК4-56

Генератор Г5-54

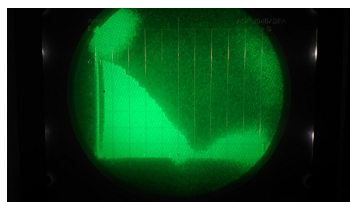
Осциллограф GOS-620



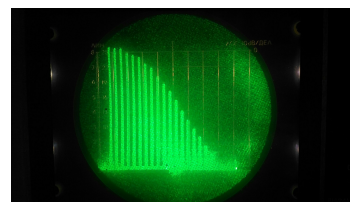
Спектры:



1кГц, 25мкс



1кГц, 50мкс



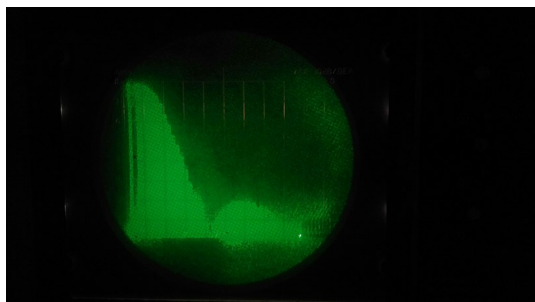
2кГц, 25мкс

Проведем измерения:

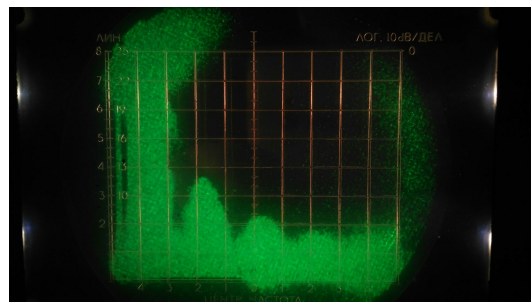
Таблица 1: Прямоугольные импульсы

$\tau$ , мкс	25	50	100	125	150	170
$x$ , дел	6	4	2	1.6	0.8	0.4
$\Delta\nu$ , кГц	40	20	10	8	4	2
$1/\tau$ , кГц	40	20	10	8	6.7	5.9

Огибающие:

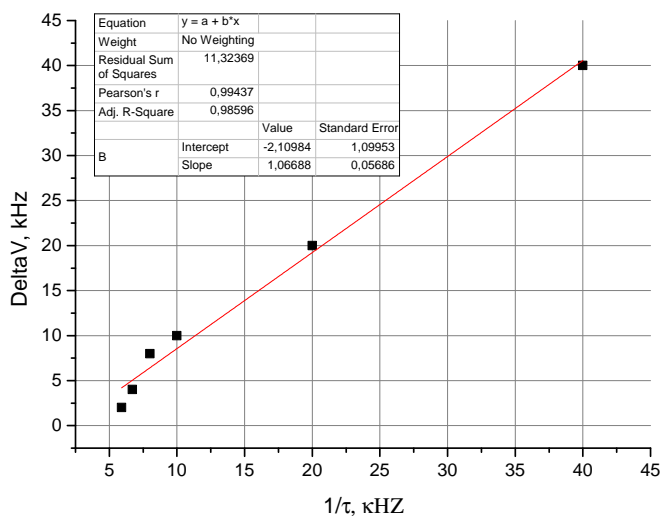


1кГц, 50мкс



1кГц, 100мкс

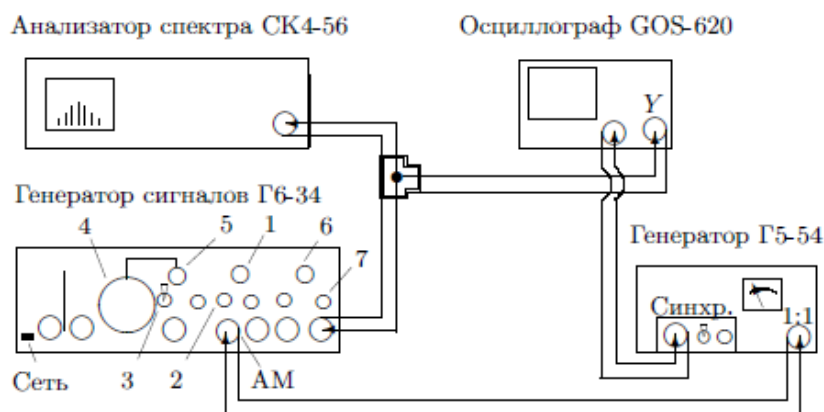
Построим график:



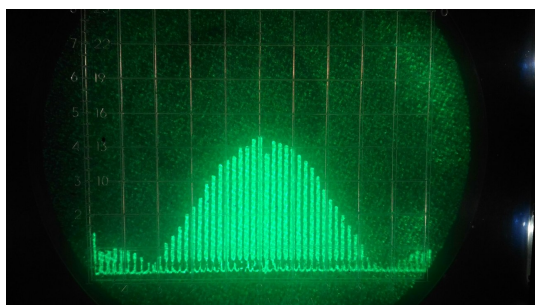
Отсюда убеждаемся, что соотношение неопределенностей справедливо.

## 4.2 Исследование спектра периодической последовательности цугов гармонических колебаний

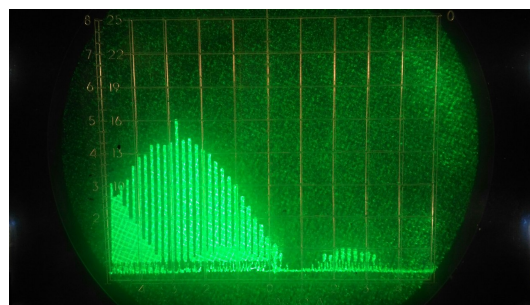
Соберем экспериментальную установку:



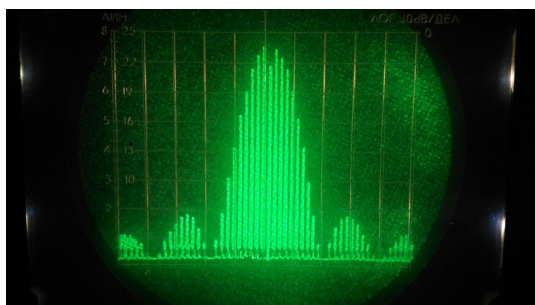
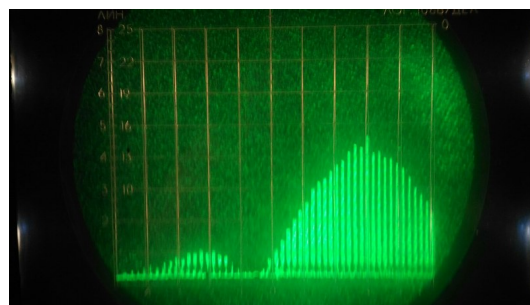
Установим несущую частоту  $\nu_0 = 25$  кГц и получим спектры:



1кГц, 50мкс,  $\nu_0 = 25$  кГц



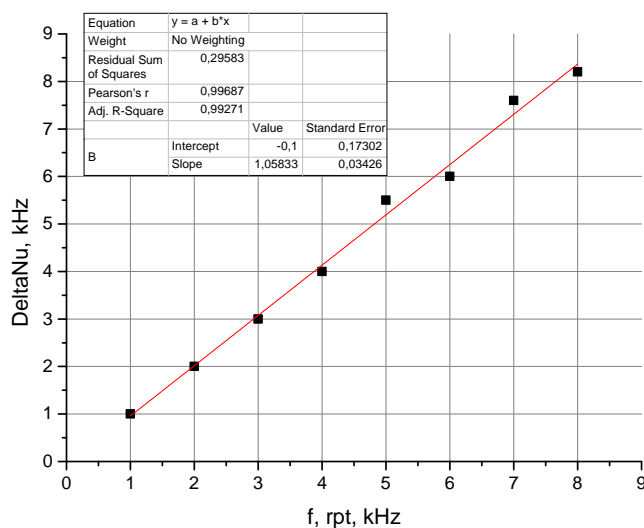
1кГц, 50мкс  $\nu_0 = 10$  кГц

1кГц, 100мкс,  $\nu_0 = 25$  кГц1кГц, 50мкс  $\nu_0 = 40$  кГц

Сделаем измерения:

$f_{\text{повт}}$ , кГц	1	2	3	4	5	6	7	8
x, дел	0.5	1	1.5	2	2.27	3	3.8	4.1
$\Delta\nu$ , кГц	1	2	3	4	5.5	6	7.6	8.2

Построим график:



Отсюда также убеждаемся в справедливости соотношения неопределенностей.

### 4.3 Исследование спектра амплитудно-модулированных гармонических колебаний

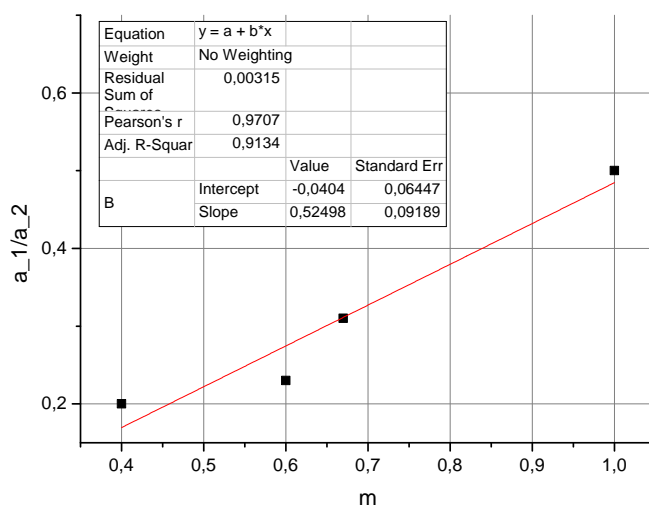
Соберем установку:



Сделаем измерения:

$2A_{min}$	0	0.04	0.04	0	0.06
$2A_{max}$	0.24	0.20	0.16	0.44	0.14
$a_{\text{бок}}$	2.17	1.33	1	2.50	0.80
$a_{\text{осн}}$	4.33	4.33	4.33	4.00	4.00
$m$	1	0.67	0.6	1	0.4
$a_{\text{бок}}/a_{\text{осн}}$	0.5	0.31	0.23	0.63	0.2

Построим график:



## 5 Вывод

Фурье-анализ позволяет получать спектр периодических электрических сигналов, что дает возможность исследовать большое количество свойств